

بررسی تراکم پیش رس کروموزومی اسپرم افراد سالم و نابارور با استفاده از لقاح تخمک بدون زونای هامستر

آناهیتا محسنی میبیدی *M.Sc.، حسین مزدارانی Ph.D.* †

† دانشکده تربیت مدرس، دانشکده علوم پزشکی، گروه ژنتیک بالینی

* پژوهشکده رویان، گروه ژنتیک ناباروری

† آدرس مکاتبه: تهران، صندوق پستی ۴۶۴۴-۱۹۳۹۵، پژوهشکده رویان، گروه ژنتیک ناباروری

چکیده

‡ **هدف:** بررسی رخداد تراکم پیش رس کروموزومی (PCC) اسپرم و مقایسه آن در اسپرم افراد بارور و نابارور
‡ **مواد و روشها:** اووسیت بدون زونای هامستر پس از مجاورت با اسپرم افراد نرمال - اولیگواسپرم و آستنواسپرم بررسی شد. پس از تحریک تخمک‌گذاری هامسترها توسط (HCG و PMSG) اووسیتها در زمان معین، از اویداکت خارج گردید. لایه‌های سلولهای کومولوس به وسیله آنزیم هیالورونیداز و قشر شفاف دور اووسیتها توسط تریپسین برداشته شد. اسپرمها بر اساس نوع ریخت شناسی، حرکت و تعداد طبقه بندی شدند. پس از شستشو و ظرفیت یابی، مجاور سازی اسپرم و اووسیت انجام گردید. سپس اووسیتها به محیط کشت تازه منتقل و در معرض کلسی‌مید قرار گرفتند. با روش تثبیت «تارکوفسکی» از نمونه‌ها لام تهیه و با گیمسای ۱۰ درصد رنگ آمیزی شدند. بررسی لامها با میکروسکوپ نوری و بزرگنمایی ۱۰۰۰× انجام گردید.

‡ **یافته‌ها:** فراوانی میزان تراکم پیش رس کروموزومی در افراد اولیگواسپرم و افراد سالم با هم تفاوت معنی داری دارد ($P < 0.001$). مشاهدات بیانگر آن است که درصد بسیار بالایی از بیماران آستنواسپرم حاوی کروماتین باز نشده هستند (۷۰/۰۱ درصد). که از نظر آماری با نمونه‌های افراد سالم و افراد اولیگو اختلاف معنی داری دارند ($P < 0.01$). همچنین سر اسپرم دست نخورده در همه موارد دیده شد که فراوانی آن در نمونه‌های اولیگو و آستنو بیشتر از نمونه‌های سالم بود و از نظر آماری تفاوت معنی داری نشان می‌دهد ($P < 0.001$). اما بر خلاف PCC که در نمونه‌های آستنو بیشتر از اولیگو بوده است ($P < 0.001$) فراوانی سر اسپرم در این نمونه‌ها با یکدیگر تفاوت معنی داری نشان نمی‌دهد.

‡ **نتیجه‌گیری:** به نظر می‌رسد که پدیده غیر طبیعی باز نشدن کروماتین اسپرم و متراکم نشدن آن به صورت کروموزوم که نهایتاً منجر به عدم لقاح می‌شود ناشی از دلایل و عوامل متعددی باشد. فراوانی بالای PCC ممکن است ناشی از نقص کروماتینی، بسته بندی نامناسب DNA، وجود ناهنجاریهای کروموزومی و یا تاخیر ورود اسپرم به داخل تخمکها باشد. نتایج می‌تواند دلایل و عوامل ناشناخته ناباروری در مردان اولیگواسپرم و آستنواسپرم را توجیه کند. ولی اینکه آیا تحریک بسیار پایین اسپرمهای آستنو هم ناشی از ناهنجاریهای کروماتینی آنها و یا بسته بندی نامناسب آن باشد، نیاز به تحقیقات بیشتری دارد.

‡ **کلواژگان:** اووسیت بدون زونای هامستر، اولیگواسپرم، آستنواسپرم، تراکم پیش رس کروموزومی (PCC)

مقدمه

در سال ۱۹۷۰، برای اولین بار مشاهده شد که بعد از ادغام یک سلول انترفازی با یک سلول متافازی، کروموزومهای سلول انترفازی، زودتر از موعد پیش‌بینی شده متراکم می‌شوند.

این القای تراکم کروموزومی در هسته انترفازی، PCC^۱ (تراکم پیش‌رس کروموزومی) نام گرفت (۱). موفقیت لقاح آزمایشگاهی به تراکم صحیح و کامل کروموزومهای اسپرم در تخمک متافاز II بستگی دارد. در IVF، عوامل سیتوپلاسمی تراکم کروموزوم یک تخمک متوقف شده در متافاز II می‌تواند باعث القای PCC هسته اسپرم داخل شده به درون آن گردد (۲، ۳).

پس از اتصال غشای سیتوپلاسمی اسپرم با تخمک، هسته اسپرم وارد اووسیت می‌شود و پس از ورود در طی دو مرحله تکامل می‌یابد: ۱) کروماتین هسته اسپرم نامتراکم می‌شود (NCD^۲ و ۲) پیش هسته نر تشکیل می‌شود (۴). پس از ورود اسپرم به درون اووسیت در غشای سر اسپرم پارگی ایجاد می‌شود که باعث ایجاد پلهای دی سولفیدی کروماتین و نهایتاً ایجاد NCD می‌شود. ایجاد NCD در اووسیت به زمان، دما و عوامل دیگر وابسته است و سرعت آن در گونه‌های مختلف جانوری متفاوت می‌باشد (۵).

از آن جهت که NCD شامل جابه‌جایی پروتامینها با هیستونهای تخمک می‌باشد لذا فاکتورهای متعددی در کارآیی و روند صحیح آن دخالت دارند (۶). قابلیت انجام NCD اسپرمها در اووسیت اکثر پستانداران در اووسیت‌های متافاز II و بالغ حداکثر است و پس از لقاح نیز این قابلیت کاهش می‌یابد.

مکانیسم جدا شدن پروتامینها از DNA اسپرم و مکانیسم جایگزینی هیستونهای اووپلاسم در درون DNA اسپرم کاملاً با هم متفاوتند (۷). در روش لقاح آزمایشگاهی ICSI، که به عنوان نقطه امید برای زوجهای نابارور به حساب می‌آید (۸، ۹) اسپرم تزریق شده به درون اووپلاسم، دارای غشایی دست نخورده است. بنابراین می‌توان چنین تصور داشت که رفتار اسپرم در سیتوپلاسم اووسیت در دو روش IVF و ICSI متفاوت باشد و بسیاری از شواهد هم مؤید این نظریه می‌باشد. لذا در این صورت به نظر می‌رسد که میزان وقوع PCC در این دو گروه باید با هم متفاوت باشد (۱۰، ۱۱، ۱۲). البته در برخی منابع نیز، این میزان در دو روش فوق برابر ذکر شده است (۱۳). به نظر می‌رسد که دست‌کاری غشای سیتوپلاسمی اسپرم قبل از ICSI برای ایجاد لقاح کامل و دسترسی به مواد احیاء‌کننده پلهای دی سولفیدی و القای نامتراکم شدن هسته اسپرم در اووپلاسم ضروری باشد (۱۰، ۱۴، ۱۵).

ظاهراً از مهمترین علل عدم توسعه و پیشرفت رشد جنینها در IVF و ICSI، پدیده PCC در اووسیتها بعد از لقاح است. این پدیده می‌تواند به علت کاهش فعالیت‌های داخلی سیتوپلاسم و کاهش عوامل تسریع‌کننده بلوغ MPF^۳ در اووسیت (۱۶، ۱۷) یا فاکتورهای وابسته به اسپرم و یا هر دو باشد (۲).

زمانی که مشخصه‌های ریخت‌شناسی و هورمونی اووسیت بیانگر

آن هستند که اووسیت در زمان برداشت و انجام IVF بالغ بوده است، به جای مشخصه‌های درون سیتوپلاسمی اووسیت، فاکتورهای خود اسپرم بیشتر مورد توجه قرار می‌گیرند. عدم همزمانی تشکیل کروموزومهای متافازی می‌تواند باعث تولید PCC اسپرم و نهایتاً عدم وقوع یک لقاح موفق در IVF گردد (۱۸). بنابراین ناهنجاریهای کروماتینی اسپرم هم ممکن است باعث القای PCC گردند (۱۹). همچنین اسپرماتوزوا با DNA آسیب دیده (۲۰) و یا بسته بندی ناقص کروماتین در اسپرم (۲۱)، می‌تواند از عوامل ایجاد PCC در اسپرم باشد. چراکه به نظر می‌رسد اسپرمهای دارای ناهنجاریهای کروماتینی، برای تولید پیش هسته نر، مستعدتر و آماده‌تر هستند و لذا پیش هسته نر در اسپرمهای دارای ناهنجاریهای کروماتینی سریعتر تشکیل می‌شود (۲۲).

به نظر می‌رسد که با اختلال در روند جایگیری پروتامینها در خلال اسپرماتوزون، این نواقص در بسته بندی کروماتین شکل بگیرد (۲۳)، (۲۴).

ریخت‌شناسی کروموزومهای متراکم شده پیش رس بر اساس مرحله سلولهای انترفازی در زمان ادغام، متفاوت است. PCC در G1 بسیار بلند و تک کروماتیدی و در G2 بلند و دو کروماتیدی است. PCC در S قطعه قطعه است. شاید این تفاوتها نیز به روند باز شدن کروموزوم اسپرم در اووسیت و نهایتاً به بسته‌بندی زونم اسپرم مربوط باشد (۲۵، ۷).

بیشتر بررسیهای انجام شده بر روند PCC اسپرم انسان در اووسیت‌های لقاح نیافته انسان پس از IVF و ICSI بوده است. از آنجایی که در بسیاری از موارد، تشکیل PCC در اسپرم، ناشی از اختلالات مربوط به اووسیت می‌باشد، از این رو نمی‌توان PCC اسپرمها را کلاً به مشکل اسپرمها نسبت داد. از ویژگیهای این بررسی آن است که شرایط اووسیتها برای کلیه آزمایشگاهها یکسان بوده و فقط نمونه‌های اسپرم با یکدیگر تفاوت داشته‌اند. بنابراین نمی‌توان قضاوت نسبتاً دقیقتری در مورد نوع اختلال اسپرم و فراوانی PCC پس از نفوذ به داخل اووسیت داشت.

مواد و روشها

* نگهداری و تحریک تخمک گذاری در هامستر

هامستر طلایی در سنین ۶ تا ۸ هفتگی از انستیتو پاستور تهران تهیه شد. پس از انتقال به مدت یک هفته در دمای (۲۳-۲۵ درجه سانتیگراد) و چرخه نوری شامل ۱۴ ساعت روشنایی و ۱۰ ساعت تاریکی و تغذیه استاندارد نگهداری شدند تا به وضعیت آزمایشگاه سازگاری یابند. آنگاه آزمایش برای دریافت اووسیت بر روی آنها انجام گرفت. تحریک تخمک‌گذاری در این حیوانات با تزریق درون صفاتی ۱۵ تا ۲۰ واحد PMSG و سپس HCG صورت گرفت و در روز آزمایش، حیوان کشته شد. بعد از جداسازی

1. Premature Chromosome Condensation
2. Nuclear Decondensation
3. Maturation Promoting Factor

روز اول	تزریق PMSG	
	تزریق HCG	روز دوم
روز چهارم	تهیه اسپرم از بیماران - تیمار با روش Swim-up	
	↓ کشتن حیوان بعد از ظهر مجاورسازی اسپرم- تخمک → برداشت اووسیت تایید لقاح تیمار آنژیومی اووسیت بدون زونا انتقال به محیط کشت جدید	
روز پنجم	متوقف سازی بر اولین تقسیم میوز تشخیص تهیه لام	

شکل ۱: شمای کلی آماده سازی اووسیت هاستر، اسپرم انسان و مجاور سازی آنها

یافته‌ها

نتایج به دست آمده در این مطالعه با استفاده از نرم افزار SPSS (V11/2) و آزمونهای آنالیز واریانس و LSD (کمترین تفاوت معنی دار) تجزیه و تحلیل آماری شد. در این بررسی تعداد ۲۰۵۰ عدد اووسیت هاستر طلایی مورد بررسی قرار گرفت. از این تعداد برای هر فرد نرمال ۱۵±۱/۵ و برای هر فرد ۲۶±۲/۹ و برای هر فرد آستنواسپرم ۲۷±۱/۸ عدد اووسیت مورد مطالعه قرار گرفت. نتایج در جدول ۱ و شکل ۳ خلاصه شده است. از تعداد ۴۵۷ اووسیت بررسی شده در گروه افراد نرمال (۳۰ نفر)، ۳۸۴ اووسیت نشانه‌های نفوذ اسپرم را دارا بودند (۸۴/۰۷ درصد) که از این تعداد، ۷۲ عدد اووسیت PCC را نشان دادند (۱۹/۳۷ درصد).

در افراد آستنواسپرم و اولیگواسپرم، به منظور دست‌یابی به میزان مناسبی از لقاح و بررسی تعداد کافی از بیماران (۳۰ نفر برای هر گروه)، تعداد اووسیت‌های بیشتری مورد بررسی قرار گرفت. یعنی در کل ۷۸۸ عدد اووسیت برای افراد اولیگو و ۸۰۵ عدد آستنو مطالعه شد.

از تعداد ۷۸۸ اووسیت بررسی شده در گروه اولیگواسپرمها، اسپرم در ۵۶۸ اووسیت نفوذ کرده بود (۷۲/۸۶ درصد) که از این تعداد ۲۰۴ عدد PCC را نشان دادند (۳۶ درصد). از ۸۰۵ اووسیت که در مجاورت اسپرم افراد آستنواسپرم قرار گرفت و ۴۲۳ عدد از آنها نشانه‌های نفوذ اسپرم را دارا بودند (۵۲/۸۷ درصد)، تعداد ۲۹۶ عدد، حاوی PCC کروموزوم اسپرم بودند (۷۰/۱ درصد).

بررسی آماری نشان می‌دهد، بین میزان نفوذ اسپرمهای نرمال و اولیگو با آستنو تفاوت معنی‌داری وجود دارد ($P < 0.001$). فراوانی رخداد PCC در نمونه‌های سالم و اولیگو از نظر آماری با هم متفاوت است ($P < 0.001$). اما این فراوانی با افزایش بیش از ۳ برابر در نمونه‌های آستنواسپرم در مقایسه با نمونه‌های سالم تفاوت معنی‌داری را نشان می‌دهد ($P < 0.001$). تعداد اسپرمهای دست نخورده پس از نفوذ به درون اووپلاسم در نمونه‌های سالم ۸/۹۵ درصد، در نمونه‌های اولیگواسپرم ۲۳/۱۴ درصد و آستنواسپرم ۲۴/۷۱ درصد بوده است که در نمونه‌های اولیگو و آستنو فراوانی مشابه هم می‌باشد.

اوویداکتها، کروموسومها از ناحیه آمپولا خارج و با هیالورونیداز ۱ درصد شستو داده شدند. بعد از جداسازی اووسیتها از کروموسومها، تخمکها در قطرات حاوی تریسین ۱/۰ درصد قرار گرفتند و قشر شفاف آنها حل شد.

به طور متوسط از هر حیوان بین ۳۰-۲۰ عدد اووسیت به دست آمد. سپس تخمکها به قطرات محیط کشت Hams-F10 منتقل شدند.

* مراحل تهیه و آماده سازی اسپرم

اسپرمها از افراد مراجعه کننده به مرکز ناباروری رویان تهیه و پس از آنالیز پارامترهای اسپرم، اسپرمها بر اساس نوع ریخت‌شناسی، حرکت و تعداد طبقه بندی شدند. تعداد بیش از ۲۰ میلیون اسپرم در هر میلی لیتر و حرکت بیش از ۴۰ درصد و ریخت‌شناسی حاوی ۴۰ درصد نرمال به عنوان پایه اعلام شده توسط WHO مبنای کار قرار گرفت (۲۶).

اسپرمها بعد از تقسیم بندی، شامل ۳ گروه شدند: افراد آستنواسپرم، افراد اولیگواسپرم و افراد نرمال به عنوان گروه شاهد.

پس از تهیه اسپرمها طبق روش swim-up شستو و سپس به مدت ۵ ساعت ظرفیت یابی شدند. بعد از ظرفیت یابی، اسپرمها به قطرات مخصوص مجاورسازی منتقل شدند.

* مجاور سازی - کشت و تایید لقاح

اووسیت‌های بدون قشر شفاف، به قطرات حاوی اسپرم اضافه شدند. سپس مدتی بین ۲۰ دقیقه تا ۳ ساعت (بر اساس نوع نمونه) در اتکویاتور ۳۷ درجه با جو ۵ درصد CO₂ قرار گرفتند.

تایید لقاح با مشاهده امتزاج سرهای اسپرم در داخل اووپلاسم انجام شد. در این هنگام اووسیتها به قطرات محیط کشت بدون اسپرم منتقل شدند. سپس به مدت ۸ تا ۱۲ ساعت در محیط کشت باقیمانده و به قطرات حاوی کلسی‌مید انتقال یافتند.

* تثبیت و رنگ‌آمیزی

تقریباً ۵ تا ۷ ساعت بعد از انتقال به محیط کشت حاوی کلسی‌مید، اووسیتها طبق روش «تارکوفسکی» بر روی لام تثبیت شدند. قبل از شروع مراحل تثبیت، به منظور تهیه گسترده مناسب، اووسیتها در معرض شوک هیپوتونیک قرار گرفتند (۲۷، ۲۸).

لامها به مدت یک هفته در دمای ۴ درجه قرار گرفتند و سپس با گیمسای ۱۰ درصد رنگ‌آمیزی و با میکروسکوپ نوری (بزرگنمایی ۱۰۰۰x) بررسی شدند.

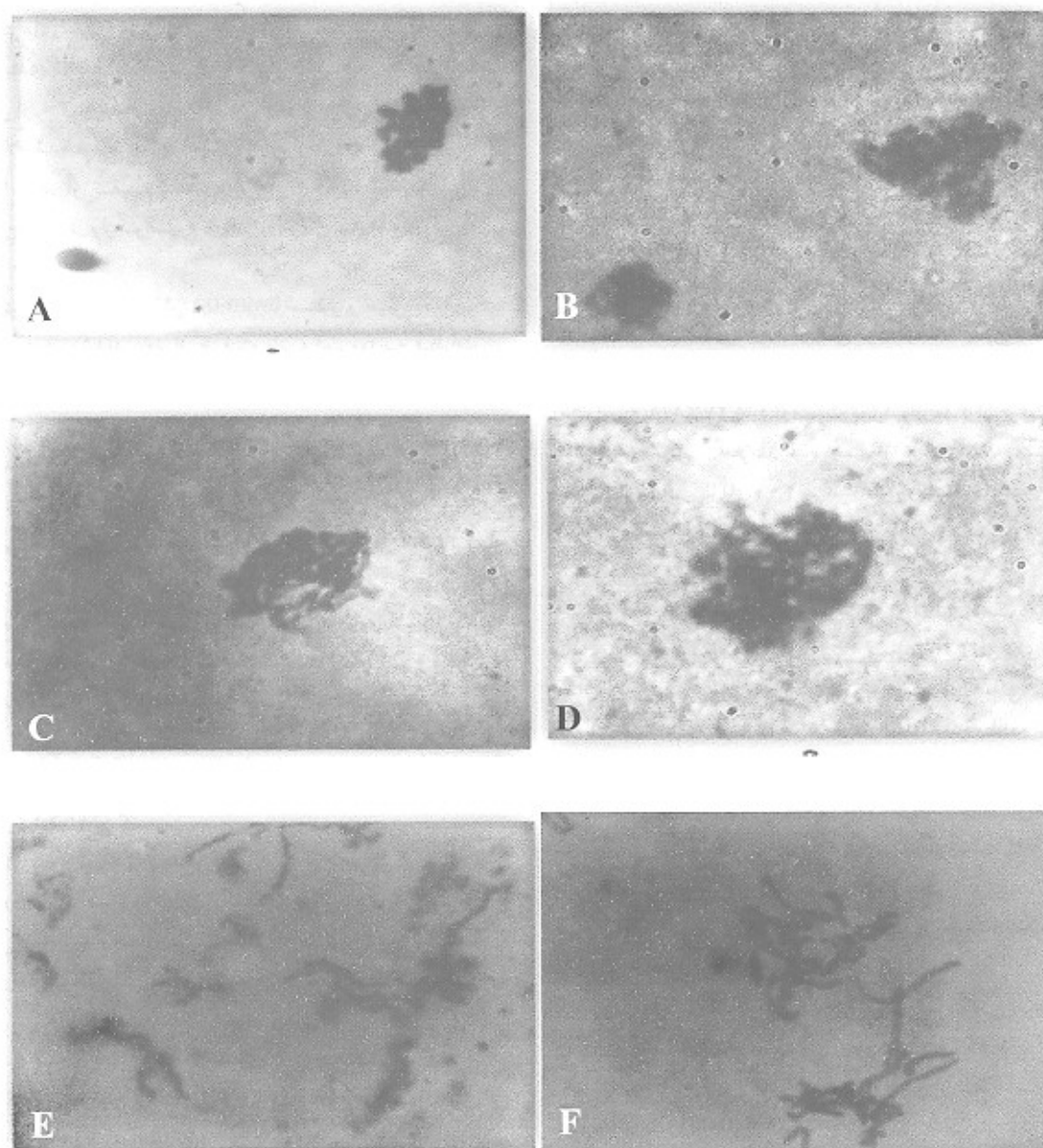
شمای کلی کار انجام شده برای مجاور سازی اسپرم انسان و اووسیت بدون قشر شفاف هاستر در شکل ۱ نشان داده شده است.

تصاویری از وجود سر اسپرم و PCC کروموزومها در اووسیت هاستر در شکل ۲ نشان داده شده است.

و با نمونه‌ای سالم از نظر آماری اختلاف معنی داری را نشان می‌دهد ($P < 0.001$).

جدول ۱: نتایج اصلی مجاورسازی اسپرمهای افراد سالم و نابارور با اوسیت‌های خاسته از طلائی

مشخصه اسپرم	تعداد اوسیت بررسی شده	میزان نفوذ اسپرم	سرهای اسپرم دست نخورده	PCC
نرمال	۴۵۷	۳۸۴	۳۴	۷۲
اولیکو اسپرم	۷۸۸	۵۶۸	۱۳۱	۲۰۴
استنو اسپرم	۸۰۵	۴۲۲	۱۰۵	۲۹۶
جمع کل: ۲۰۵۰				



شکل ۲: نمایش وجود سر اسپرم دست نخورده و کروموزمهای اسپرم در اوسیت بدون زونای خاسته

A: سرهای اسپرم دست نخورده، B و C: GL-PCC، D: سر اسپرم و PCC.

B: کروموزوم اوسیت و PCC اسپرم.

پس می توان نتیجه گرفت که چون در مراحل مختلف ICSI، بر خلاف IVF، واکنشهای متقابل غشای اسپرم با اووسیت زیاد مطرح نیست، بیشتر توجه به بسته بندی و کیفیت کروماتین اسپرم به منظور تشکیل پیش هسته تر منعطف می شود. وجود DNA آسیب دیده در اسپرم نیز ممکن است باعث وقوع این پدیده گردد (۲۰، ۳۰).

Sakkas و همکارانش نشان دادند که ریخت شناسی و ناهنجاریهای کروماتینی اسپرم بر روی لقاح صحیح تاثیر می گذارند و بسته بندی غلط و با ضعیف کروماتین و یا صدمات DNA ممکن است با مراحل مختلف روند لقاح تداخل یابد (۱۹). و این مشاهدات با نتایج این تحقیق (شکل ۳) که مبین رخداد PCC بیشتر در اسپرم افراد آستنواسپرم است مطابقت دارد.

حتی ناهنجاریهای کروماتینی اسپرم ممکن است آن را نسبت به عوامل خاص خارج ژنی نیز، که منجر به ناهنجاریهای بیشتر می شود، مستعدتر سازد. تفاوتهای مشاهده شده در درصد اسپرمهای تراکم شده، ممکن است به علت ناهنجاریهای کروماتینی حاصل از صدمات مکانیکی یا فیزیکی افزایش یابد. این ناهنجاریهای کروماتینی ممکن است مراحل آغازی مکانیسمهای تراکم اسپرم را هم مختل سازد (۳۰). یکی از عواملی که بسته بندی صحیح کروماتین را مختل می سازد، مشکلات جابجایی پروتئینها در خلال اسپرماتوژنز است. اسپرم افراد نابارور درصد بیشتری از ناهنجاریهای کروماتینی مربوط به جابجایی غیر صحیح پروتئینها را از خود نشان داده اند (۲۳).

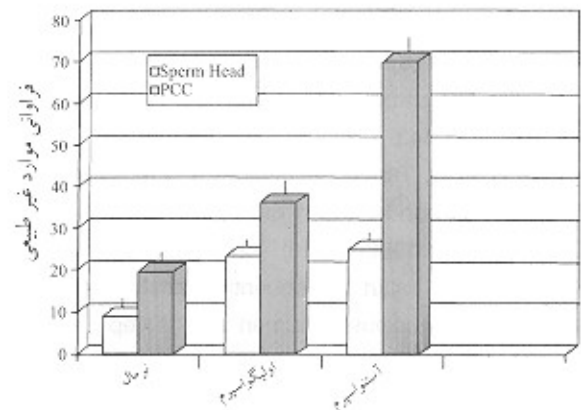
وجود ارتباط میان این بسته بندی غیر صحیح کروماتین و حضور شکستهای کروموزومی در افراد نابارور نیز نشان داده شده است. همه این موارد ممکن است به علت عدم کارکرد صحیح در روند بسته بندی DNA هنگام اسپرماتوژنز مربوط باشد (۳۱).

همچنین ممکن است وجود مقدار کمی از پروتئینهای هیستون در کروماتین اسپرم عامل باز نشدن آن باشد (۳۲):

با توجه به اینکه حدود ۱۰ درصد DNA اسپرم بالغ انسان متصل به هیستون است، ممکن است هیستونهای اسپرم به طور کامل در حین توسعه پیش هسته تر برداشته نشود. در هر صورت، این احتمال وجود دارد که، مقادیر غیر طبیعی هیستون در سر سلولهای نو و ماده همراه با مقادیر متغیر پروتئین، روند طبیعی عملکرد کروماتین در مراحل اولیه بعد از لقاح را تغییر دهد (۳۳).

در برخی موارد، درصد بالاتری از پدیده PCC در بک شخص خاص دیده می شود. در این موارد، می توان درصد ارتباط وقوع این پدیده را با فاکتورهای ژنومی اسپرم، بیشتر دانست (۳۴).

در نهایت با مشاهده تفاوت عمده ای که در میزان وقوع PCC در اسپرم افراد آستنو و اولیگواسپرم با افراد گروه نرمال (جدول ۱، شکل ۳) از یک طرف و دانستن این موضوع که PCC یکی از دلایل عدم وقوع لقاح موفق است، شاید یکی از دلایل ناباروریهای ناشناخته در افراد آستنو اولیگواسپرم رخداد PCC باشد.



شکل ۳. فراوانی تراکم پیش رس کروموزومی و سر اسپرم بر اووسیت بدون زونای هامستر پس از مجاورت با اسپرم افراد سالم و نابارور

بحث

PCC در روندهای غیر طبیعی بعد از لقاح ایجاد می شود که ممکن است به علت مشکلات تکنیکی؛ مشکلات فاکتورهای داخلی اووسیت و یا مشکلات کروماتینی اسپرم باشد. عدم کارکرد متقابل و صحیح فاکتورهای اووسیتی و ژنوم اسپرم، به هر کدام از دلایل فوق منجر به PCC می شود که در نهایت همه فاکتورهای فوق تعیین کننده هستند (۲۹).

نتایج بررسی تخمکهای هامستر پس از مجاور سازی در کنار اسپرمهای افراد مختلف نشان دهنده این است که ورود اسپرم به داخل اووپلاسم بک تخمک متوقف شده در متافاز II شرایط کافی برای دستیابی به لقاح موفق را فراهم نمی آورد. چنانچه در جدول ۱ نشان داده شده است، علاوه بر آن که سرعت پایین اسپرمهای آستنو درصد ورود آنها را به درون اووسیتها کاهش می دهد، درصد بالای PCC در آنها بیانگر آن است که یکی از دلایل عدم لقاح موفق در این دسته از افراد، رخداد میزان بالای PCC آنها است (شکل ۳).

تعیین قدرت بالقوه اسپرمها با ناهنجاریهای کروماتینی برای لقاح، در IVF، به سختی امکان پذیر است چرا که نتیجه ممکن است هنگام شروع واکنش آکروزومی و واکنشهای متقابل غشای اسپرم با اووسیت تحت تاثیر قرار بگیرد (۲۱). به نظر می رسد که حتی ورود صحیح و کامل اسپرم به اووسیت بالغ در فاز MII، به تنهایی نمی تواند شرط لازم و کافی برای وقوع لقاح باشد. اگر اسپرم سریعتر از زمان مناسب به عوامل تراکم کننده کروموزوم واکنش نشان دهد، اما تخمک فعال نشده و در میتوز II باقی بماند، PCC کروموزومهای اسپرم رخ می دهد (۱۰).

به نظر می رسد که بیشترین علت عدم وقوع لقاح بعد از ICSI، عدم فعال شدن اووسیت باشد ولی نامتراکم شدن سر اسپرم و فعال سازی اووسیتها بعد از ICSI به صورت غیر وابسته به هم نیز می تواند رخ دهد (۱۱).

References

1. Johnson RT, Rao PN; Mammalian cell fusion;

Induction of premature chromosome condensation in

- interphase nuclei. *Nature* 1970; 226: 717-722
2. Schmiday H, Sperling K; Prematurely condensed human sperm chromosomes after (IVF); *Hum Genet* 1986; 74: 441-443
 3. Schmiday H, Tandler Schneider A; Premature chromosome condensation of the sperm nucleus after ICSI. *Hum Rep* 1996; 11(10): 2239-45
 4. Lassalle B, Testart J; Sequential transformations of human sperm nucleus in human egg. *J Rep Fert* 1991; 91: 393-402
 5. Perreault SD, Ba Bee RR; Interspecies differences in the stability of mammalian sperm nuclei assessed in vivo by sperm microinjection and in vitro by flow cytometry. *Biol Rep* 1988; 39: 157-167
 6. Foresta C, Zorzi M; Sperm nuclear instability and staining with aniline blue: abnormal persistence of histones in spermatozoa in infertile men. *Int J Androl* 1992; 15: 330-337
 7. Ohsumi K, Katagiri C; Characterization of the ooplasmic factor inducing decondensation of and protamine removal from total sperm nuclei; *Dev Biol* 1991; 148: 295-305
 8. Palermo G, Joris H; Pregnancies after (ICSI) of single spermatozoa into an oocyte. *Lancet* 2002; 340: 17-18
 9. Palermo G, Joris H; Sperm characteristics and outcome of human assisted fertilization by subzonal insemination and ICSI. *Fertil Steril* 1993; 59: 826-835
 10. Dozortser D, Desutter P; Behavior of spermatozoa in human oocytes displaying no or one pronucleus after ICSI. *Hum Rep* 1994; 9: 2134-2144
 11. Flaherty SP, Payne D; Aetiology of failed and abnormal fertilization after ICIS. *Hum Reprod* 1995; 10: 2623-2629
 12. Mozdarani H, Aghdaei F; Cytogenetic analysis of failed fertilized oocytes from Iranian infertile women after IVF and ICSI procedures; *Middle East Fertility Society Journal*. 2001; 6: 3: 216-225
 13. Edirisinghe WR, Murch A; Cytogenetic abnormalities of unfertilized oocytes generated from IVF and ICSI: a double blind study. *Hum Rep* 1997; 12: 2784-2791
 14. Dozortsev D, Rybouchkin A; Sperm plasma membrane damage prior to ICIS: a necessary condition for sperm nucleus decondensation. *Hum Rep* 1995; 10: 2960-2964
 15. Gerris J, Mangelschots K; ICSI and sever male factor infertility; breaking the sperm tail prior to injection. *Hum. Rep* 1995; 10: 484-486
 16. Masui Y, Markert CL; Cytoplasmic control of nuclear behavior during meiotic maturation of frog oocytes. *J Exp Zool* 1971; 117: 129-146
 17. Murragy AW, Kirschner MW; Cyclin synthesis drives the early embryonic cell cycle. *Nature* 1989; 339: 275-280
 18. Eichenlaub R, Schmiday H; Recurrent failure in polarbody formation and premature condensation in oocytes from a human patient: Indicators of asynchrony in nucleus and cytoplasmic maturation *Hum Rep* 1995; 10(9) 2343-2349
 19. Sakkas D, Urner F; Sperm chromatin anomalies can influence decondensation after ICSI. *Hum Rep* 1996; 11-14: 837-843
 20. Bianchi PG, Mani Cardì; Effect of DNA protamination on fludrochrome staining and in-situ nick-translation of murine and human mature spermatozoa. *Biol-reprod* 1993; 49: 1038-1043
 21. Bianchi PG, Manicardi; Chromatin packaging and morphology in ejaculated human spermatozoa: evidence of hidden anomalies in normal spermatozoa. *Mol Hum Rep* 1996; 2: 139-144
 22. Perreault SD, Naish SJ; The timing of Hamster sperm nuclear decondensation and male pronucleus formation is related to sperm nuclear disulfide bond content. *Biol Rep* 1987; 36: 239-244
 23. Belokopytova LA, Kostyleva E; Human male infertility may be due to a decrease of the protamine (P2). content of sperm chromatin. *Mal Rer Deve* 1993; 34: 53-57
 24. Yebra DE, Balleson L; Complete selective absence of protamine P2 in human. *J Biol Chem* 1993 268: 10553-10557
 25. Schmiday H, Kentenich H; PCC after IVF; *Hum. Rep* 1989; 4(6): 989-995
 26. Simon H, Ektin MJ; What is male infertility? *Nidus information service*, 1998; <http://www.well.connected.com>
 27. Tarkowski AK; An Air-drying method for chromosome preparation from mouse eggs. *Cytogenetics* 1996; 5: 394-400
 28. Kamiguchi Y, Funaki K; A new technique for chromosome study of murine oocytes; *Proc Jap Acad*. 1976; 52: 316-321
 29. Rosenbuch BE; Frequency and patterns of premature sperm chromosome condensation in oocytes facility to fertilize after ICIS. *J Assis Rep Gen*

۷۰

2000; 17(5): 253-259

30. Sailer BI, Jost LK: Mammalian sperm DNA susceptibility to in-situ denaturation associated with the presence of DNA strand breaks as measured by the terminal deoxynucleotidyl transferase assay. J Androl 1995; 16: 80-87

31. Manicardi GC, Bianchi PG: Underprotamination and nicking of DNA in ejaculated human spermatozoa are highly related phenomena. Biol Rep 1995; 52: 864-867

32. Tesarik J, Kopečný V: Assembly of the nucleolar

precursor bodies in human male pronuclei is correlated within early RNA synthetic activity; Exp Cell Res; 1990; 191: 153-156

33. Tesarik J, Sousa M; Spermatids as gametes: Indications and limitations; Hum Reprod; 1998; 13(3): 89-107

34. Tejada MI, Mendoza R: Factors associated with premature chromosome condensation (PCC) following in vitro fertilization. J Assist Rep Gen 1992; 9: 61-67

